

# 地形對雙颱風運動之影響

劉 廣 英      俞 川 心

## 摘 要

本文就 1960 ~ 1984 年共 25 年間，選擇 49 對在同一時間內分別處在西北太平洋與南海，即在台灣至菲律賓東、西兩側之颱風，分析其相對運動，以探討上述地形對雙颱風相對運動之影響。結果發現，此類雙颱風在地形影響下仍有順轉及逆轉情形發生，但其相對運動之角度變化較西北太平洋上之雙颱風小得很多。除此以外，在上述地形作用下，雙颱風中心相對移動會發生移速，旋轉方向的突然變化，而且地形東方颱風牽引之南海颱風，只有當後者中心恰可通過巴士海峽時，方會由南海移到西北太平洋上。

文中不但詳列各項統計資料，分析運動特徵，並做個案分析，以顯示地形在雙颱風交互運動中的重要性。

## 壹、前 言

當兩個颱風分別位於台灣至菲律賓的東方及西方海面時；帶給氣象人員最為困擾的是這兩個颱風的未來路徑將如何變化。雖然如案所週知，雙颱風有「鰐原效應」，但劉氏 (1983a, b) 曾對雙颱風運動之特性及其在交互作用控制下雙颱風相對運動的數學分析做過深入之探討，認為雙颱風旋轉運動有時並不合該效應，同時認為台灣至菲律賓之地形對雙颱風相對旋轉運動有很大的影響，但台灣至菲律賓之地形對於分處在南海及太平洋上之雙颱風運動究竟扮演何種角色，其影響程度又如何？原研究並未深入探討，是以本文即以此種地形作為研究重點，祈以作為吾人爾後在預報作業上之參考。

本文採用 1960 ~ 1984 年共 25 年發生在南海及西北太平洋中之雙颱風為研究對象，無論其原生地為何，只要同一時間內有兩個颱風恰處在台灣至菲律賓之東，西兩側海面，即列入統計，共得 49 對颱風（如附表一）。其中兩颱風重疊時間未超過 24 小時之資料則未列入。就表一中各颱風對，分析其相對運動結果如表二。由表可見當二中心分處在南海及太平洋上時，雖有台灣及菲律賓之地形居其中間，二者仍發生相對旋轉且方向有順轉亦有逆轉。在全部 49 對颱風中，逆轉者有 36 對，佔總數之 74%，

至於相對旋轉的角度超過  $10^\circ$  者亦有 31 個雙颱風，所佔比例亦甚高約為 65%。一般而言，兩颱風多由成  $319^\circ \sim 140^\circ$  排列時開始旋轉，逆轉角度最大者達  $123^\circ$ ，最小僅為  $1^\circ$ ，其間之差距相當大。

另由劉等 (1982) 所做之分析知，導致雙颱風相對運動的原因有四：

- 一、駛流作用的差異。
- 二、柯氏效用的差異。
- 三、二颱風渦旋內力的差異。
- 四、二颱風的交互作用。

很顯然的，地形對此四者均有或多或少的影響，這也就是說，當台灣至菲律賓的地形處在二颱風之間時，二颱風的相對運動情形應與無此地形存在時不同，亦即在二颱風相對運動中，如受到地形的影響，其相對路徑一定會有所變化。如 1979 年 10 月，強烈颱風 TIP，當時處在南海地區之 SARAH 颱風，其強度雖一度增強到強烈颱風（中心風速為 90G110 KTS），但其路徑則相當不規則，並不與太平洋上的 TIP 颱風循同一駛流場行進，顯示台灣與菲律賓之地形對受西北太平洋牽制之南海地區的颱風有相當之影響。

1960~1984年共25年南海及西北太平洋發生颱風統計表 表一

Table with columns: 序次, 年, 月, 日, 時, 位於南海及西北太平洋發生地, 颱風名稱, 源地, 颱風名稱, 源地, 備考. Lists typhoon events from 1960 to 1979.

Table with columns: 年, 月, 日, 時, 位於南海及西北太平洋發生地, 颱風名稱, 源地, 颱風名稱, 源地, 備考. Lists typhoon events from 1980 to 1984.

貳、台灣至菲律賓兩側颱風之分類及個案挑選

台灣至菲律賓兩側之颱風其路徑及源地約可分為四類：

- 一、源地分別在南海及太平洋地區生成(含菲律賓東方附近海域)
二、源地同在太平洋地區生成
三、源地分別在南海及太平洋生成
四、源地在太平洋

根據以上雙颱風發生源地及路徑，是以太平洋上之颱風中心為中心，將其中49個雙颱風(相對旋轉角度大於10°者31對小於10°者有18對加以分析)

反轉風旋轉角度 表二

Table showing wind rotation angles with columns for angles (0°, 1-4°, 5-9°, etc.) and counts.

反轉風關係位置及距離統計表 表三

Table showing wind relationship positions and distances with columns for distance ranges and counts.

颱風之中心距離最大者為3600哩，相距最小者為280哩，另兩颱風30kt之半徑相距最遠者有3200哩

再從表二中可發現，49個雙颱風中其旋轉角度大於20°者僅18個(佔37%)，較劉氏(1984a)分析所得佔54%少很多

Table showing wind rotation angle change rates with columns for angle ranges and counts.

又統計旋轉角度大於10°的31個颱風之中心距離及距離變化分布表(如表五)發現雖然有台灣及菲律賓地形之阻隔

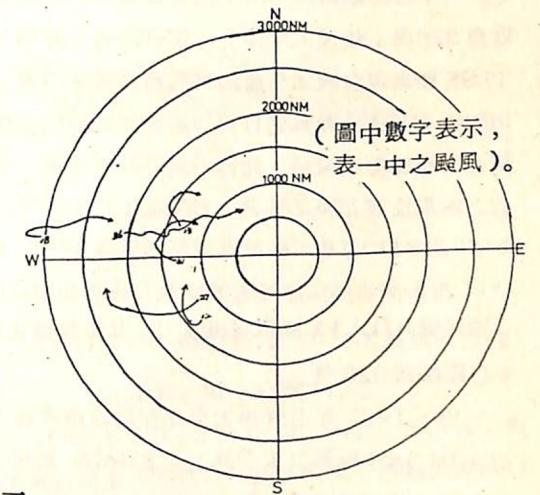
又雙颱風之中心距離(R)約分別在600~2400哩間，但有40%集中在1400哩以內，另有38%中心相距1600~2400哩之間

旋轉(>10°)及颱風之中心距離及距離變化分布表 表五

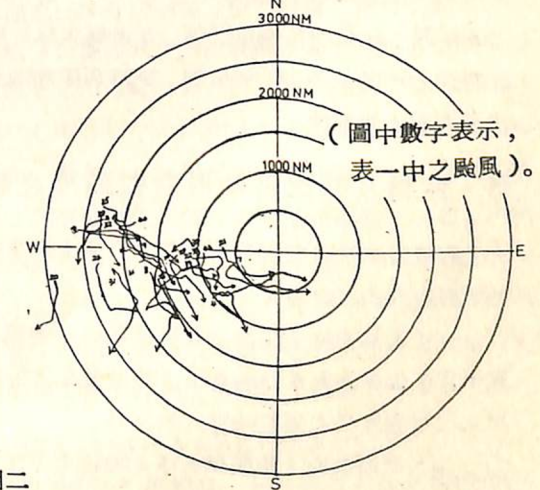
Table showing wind rotation angles and distance distribution with columns for distance ranges and counts.

Table showing wind rotation angles and distance distribution with columns for distance ranges and counts.

圖一、二是選擇旋轉角度大於10°以上之31對個案，分別為順轉及逆轉的合成相對路徑圖



圖一 旋轉角度達10°以上之6個順轉個案的相對路徑圖



圖二 旋轉角度達10°以上之25個逆轉個案的相對路徑圖

茲分別取其中之四個案例研討之：

一、如圖一中的 1980 年 5 月,南海的 GEORGIA 颱風與太平洋上關島東南方的 FORREST 颱風,兩颱風的最早中心距離為 2180 哩,相對方位 282° 順轉至 319°,最後分別在福建廈門及菲律賓登陸減弱後中心相距僅 900 哩,相對旋轉角度為順轉 27°。

二、又如圖一中的 1972 年 7 月,南海的 SUSAN 颱風及太平洋上的 TESS 颱風,原來兩颱風的中心距離為 3030 哩,相對方位為 275° 順轉到 287°,順轉角度為 12°,最後中心距離為 2300 哩,但此時太平洋上另有二個颱風存在。

三、圖二中編號④為 1966 年 6 月在南海的 SUSAN 颱風及太平洋上的 TESS 颱風,此兩颱風原來方位為 232° 逆轉到 140°,相對旋轉角度達 92°,中心距離由開始的 1020 哩逆轉到終止時接近為 320 哩,最後太平洋上(宮古島東方海面)的 TESS 颱風經台灣北部海面到馬祖後減弱消失,而南海的 SUSAN 颱風則自東沙島的南面經巴士海峽到台灣東部海域減弱,此為台灣及菲律賓東、西兩側之颱風位置互換之特例,另又如 1973 年 7 月的 DOT 及 BILLIE 兩颱風其逆轉角度達 123°,且 DOT 由南海北進,穿越福建省後再在馬祖附近出海,始終受 BILLIE 颱風環流牽引。其最後終止時之中心距離為 620 哩。

四、1977 年 9 月由太平洋穿越菲律賓進入南海之 DINAH 颱風及太平洋上之 EMMA 颱風,此兩颱風之旋轉角度為逆轉 39°(由 269°~ 230°),其中心開始時相距 1060 哩,至終止時中心相距達 2080 哩,此為逆轉漸遠之例。在逆轉颱風旋轉角度超過 20° 以上者有 16 個案例,旋轉角度超過 50° 以上者有 4 個案例。

### 叁、台灣及菲律賓地形對雙颱風之影響

經統計本次研究 49 對南海及太平洋上之雙颱風發現其有共同現象為：

一、南海海面上生成的颱風其強度及半徑均較太平洋上生成之颱風為弱為小。除非是在太平洋海域上已增強至相當強度時進入南海者。

二、南海海面上的颱風其移速均較太平洋者為慢。

三、南海有颱風存在(無論其是否在南海生成者),太平洋上同時內亦有颱風存在時,此兩颱風亦會產生相對旋轉,平均旋轉角度在 20° 以內。

四、太平洋上同時有二個以上颱風存在時,南海海面上的颱風經常會呈滯留或在原地打轉。

五、當有明顯之導引氣流,而颱風中心又接近台灣及菲律賓時,南海海域上的颱風及太平洋海上之颱風其行經路徑之變化大體與台灣及菲律賓間之地形的凹凸處相仿。

六、當颱風路徑與地形之交角成 90° 時,颱風行徑之速度均會減慢,約距接近陸地前 210~ 420 哩處,較為顯著。

七、南海颱風與太平洋上之颱風其旋轉方式順轉逆轉均會產生。順轉約佔總數的 24%,逆轉約為 76%。

八、南海生成之颱風或由太平洋進入南海之颱風,當受到西北太平洋上之颱風作用,而移向或重返西北太平洋時,均經由巴士海峽或台灣北部海面行進,尚無經過菲島或台灣本島者,經由台灣北部外海轉回或移入西北太平洋之颱風,均為已登陸我國大陸後又出海者。

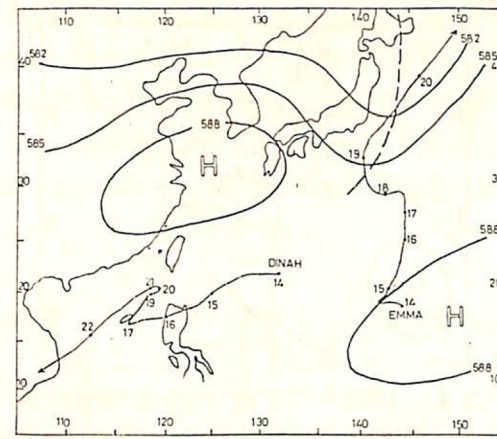
九、受西北太平洋颱風牽引之南海颱風,如中心位於菲島西方,則於接近菲島北方陸地時,會順地形向北移,並於到達巴士海峽後再向東北移動進入太平洋(如 71 年的 FAYE 颱風)。如中心已在台灣海峽南部受到牽引後向東北移,則於中心與台灣南端緯度相同時,牽引作用會因中央山脈阻擋而大為減弱並消失。兩種情況的差異,乃因中央山脈高度較菲律賓北部地形高出很多所致。

### 肆、個案分析

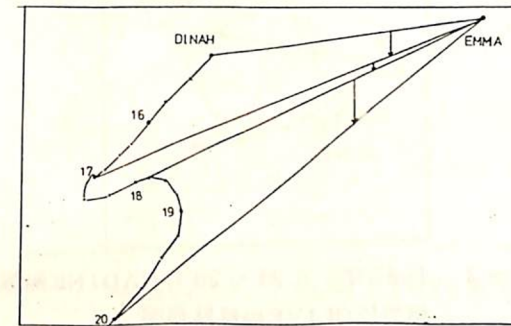
#### 一、1977 年之 DINAH 與 EMMA

1977 年 9 月 15~ 20 日,南海之 DINAH 颱風與太平洋上的 EMMA 颱風,此兩颱風為相對逆轉漸遠,其逆轉角度達 39°(由 269°~ 230°),中心距離由開始的 1060 哩到終止時之距離為 2080 哩,其路徑如附圖三一 1 及 2,此兩颱風雖然為逆轉漸遠,自 9 月 17~ 19 日間的交互影響仍甚明顯,不但南海的 DINAH 颱風,由西南偏西行進中打轉後回頭向東北移動,即位在日本南方的 EMMA 颱風,同期間一度由北轉向西移。此二颱風的相互牽引直至同月 20 日由於二颱風中心已相去極遠,

綜合颱風所在位置、強度、範圍及地形影響最顯著之現象。



圖三~ 1 1977 年 9 月 14~ 22 EMMA 及 DINAH 颱風路徑及 17 日之 500 MB 天氣圖。

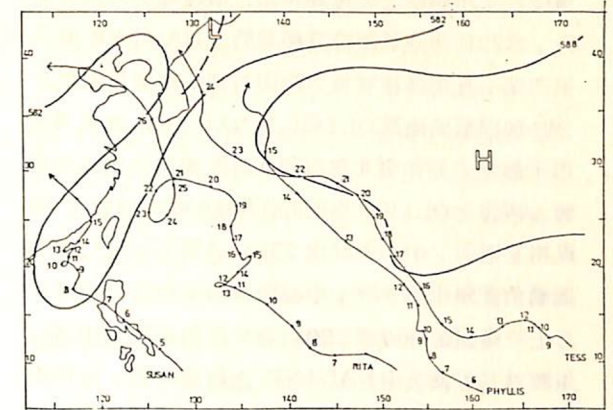


圖三~ 2 1977 年 9 月 15~ 20 日 EMMA 颱風相對於 DINAH 颱風路徑圖。

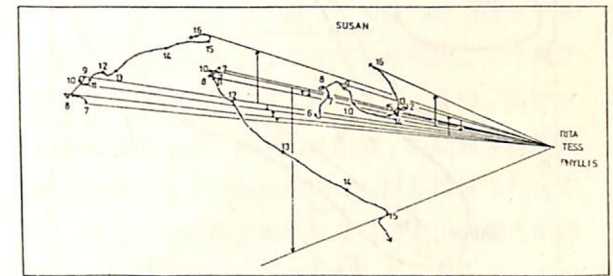
EMMA 颱風且減弱,所生牽引氣流又受台灣地形所阻,加以太平洋高壓西伸致 DINAH 颱風之駛流場隨之改變,導致其恢復向西偏南引進而在越南登陸。

#### 二、1972 年之 Phyllis, Rita 與 Susan

1972 年 7 月 8~ 24 日太平洋海面在 13 日每隔約 12 個經度即有一颱風,且其強度均在中度以上,其中 RITA 颱風之強度為 115 KTS, 30KT 半徑為 250 哩,南海之颱風 SUSAN 則為輕度,而 30KT 之半徑亦達 200 哩,兩颱風中心相距為 1030 哩,其半徑間的距離僅 580 哩,此時 500 MB 圖上之駛流場對 PHYLIS 颱風之移動相當規律,然強烈颱風 RITA 則是不規則運動,南海之 SUSAN 颱風未因受 RITA 颱風牽引而向東移,僅在原地打轉,如圖四一 1 及 2,顯示受台灣地形影響,另 RITA 颱風在原地打轉則係受 PHYLIS 牽引影響,此特例乃



圖四~ 1 1972 年 7 月 8~ 14 日 TESS、PHYLIS、RITA、SUSAN 颱風路徑圖及 13 日之 500 MB 天氣圖。



圖四~ 2 1972 年 7 月 6~ 16 日 RITA、TESS、PHYLIS 颱風相對於 SUSAN 颱風路徑圖。

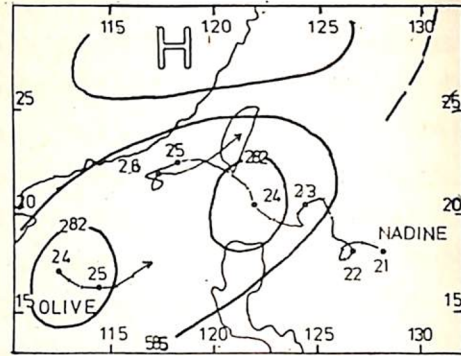
#### 三、1966 年之 SUSAN 與 TESS

1966 年 8 月 12~ 16 日,南海之 SUSAN 颱風及宮古島東方海面之 TESS 颱風,兩颱風開始時之中心距離為 1020 哩,此兩颱風強度相仿,30KT 半徑在 15 日時約相等,位置適當,未受台灣及菲律賓地形影響而減小相對旋轉運動,且正常的逆時鐘旋轉,分由台灣北部及巴士海峽通過,旋轉角度達 90°(由 232°~ 140°),最後 TESS 颱風登陸福建省,而 SUSAN 颱風到達台灣東方海面後減弱消失。此兩颱風在 15 日,其半徑相距僅 170 哩,中間僅隔着台灣的南北長度而已,500 MB 圖上駛流場並不十分明顯,700 MB 以下各屬菲律賓亦無高壓存在,而是以台灣地形為中心相對逆時鐘旋轉漸近者的典型牽引作用之個案。(如圖五→ 1 及 2)。

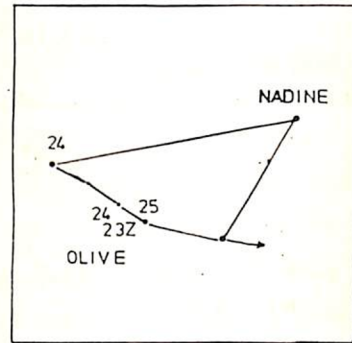
#### 四、1968 年之 NADINE 與 OLIVE

1968 年 7 月 21 日,菲律賓東方海面 NADINE

颶風生成，南海海域僅有一 T、D 環流，NADINE 颶風受太平洋高壓之駛流場及北方槽綫導引向西北進行，當 22 日西南氣流較為顯着時，NADINE 颶風呈滯留，且在菲律賓東方海面打轉，南海低壓則於 24 日加深形成颶風 OLIVE，當 NADINE 颶風移至巴士海峽（菲律賓北部海面）時脫離菲律賓地形影響，南海之 OLIVE 颶風則向西移且與 NADINE 颶風相互牽引，中心方位由 258° 逆轉至 211°，相對運動角度變化達 47°，中心距離由開始的 600 哩至終止時僅相距 360 哩，30kt 之半徑僅相距 230 哩，由圖六—1 及 2 中 NADINE 之路徑變化，可得知，西南氣流對菲島之地形對其西側及東側之颶風之路徑有甚為明顯之影響。

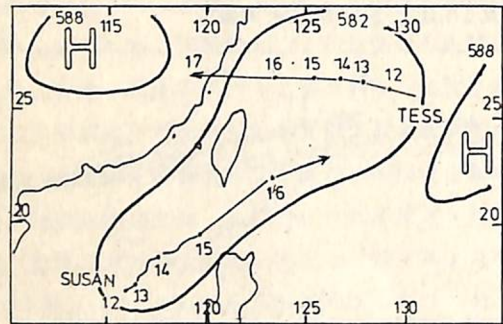


圖六—1 1968 年 7 月 21 ~ 26 日 NADINE 及 OLIVE 颶風路徑圖及 24 日之 500 MB 天氣圖。

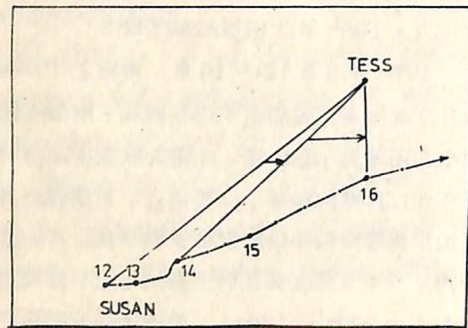


圖六—2 1968 年 7 月 24 ~ 25 日 NADINE 颶風相對於 OLIVE 颶風路徑圖。

颶風則受 700 MB 太平洋高壓之導引向西進行，穿越菲島中部到達菲律賓的西側近海。23 日 00Z 兩颶風中心相距 1020 哩，30KT 之半徑相距僅 560 哩，此時菲島東、西兩側之颶風雖有牽引作用，但 FAYE 颶風受菲島地形影響並未按「騰原效應」向東移動，反而沿着菲島西側之地形向北進行。直至 26 日 00Z，當 FAYE 颶風移至巴士海峽，脫離菲島地形影響後；隨即明顯的受 ELLIS 颶風牽引轉向東北移動，如圖七—1 及 2。此時 ELLIS 颶風正移至那霸島東北方海面，兩颶風中心相距 810 哩，30 KT 之半徑僅 430 哩，中心相對位置由 230° 開始逆轉，ELLIS 颶風由那霸島的東北方海面繼續受 500 MB 層之氣流導引向北進行登陸日本時，FAYE 颶風則移至台東東方海面約 300 哩處。距 ELLIS 颶風中心 920 哩，兩颶風中心相對位置已逆轉至 198°，相對旋轉角度達 32° 之多。當 ELLIS 颶風進入日本海後，兩颶風受日本南部（四國島及九州）地形之阻隔，FAYE 颶風則不再向東北進行



圖五—1 1966 年 8 月 12 ~ 17 日 TESS 及 SUSAN 颶風路徑圖及 14 日之 500 MB 天氣圖。

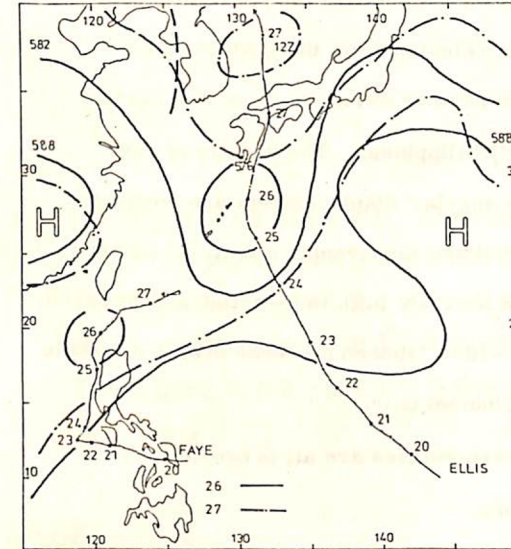


圖五—2 1966 年 8 月 12 ~ 16 日 TESS 颶風相對於 SUSAN 颶風路徑圖。

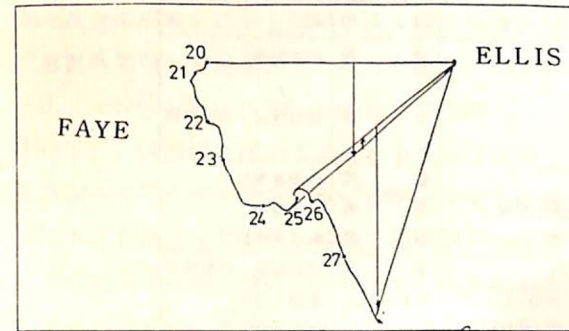
五、1982 年之 FAYE 與 ELLIS

1982 年 8 月 20 日 FAYE 與 ELLIS 颶風約在北緯 12°，同時分別在菲島東方近海（FAYE）及其東方約 990 哩（ELLIS）處生成。兩颶風中心相對位置為 269°。ELLIS 颶風因受 700 MB 及 500 MB 層太平洋高壓之導引，穩定的向西北進行。FAYE

，且兩颶風之強度及範圍也相對的減弱。此時 FAYE 颶風雖已變為普通低壓又因受 500 MB 華南之分裂高壓之影響，其進行方向由原來的東北向又折返向西進行，直到該颶風完全在台東外海消失為止。此個案乃充分顯示地形對分別同時處在其兩側的雙颶風之牽引運動有明顯的影響。



圖七—1 1982、8 ELLIS 及 FAYE 颶風路徑及 26、27 日 1200 Z 500 MB 天氣圖



圖七—2 1982.8. ELLIS 及 FAYE 颶風相對運動路徑圖

伍、結語

南海之颶風於菲律賓東方海面亦有颶風存在時，由於彼此的交互作用，影響行進路徑在台灣天氣預報上有重要之影響，歸納本次研究結果為：

一、南海及太平洋上有颶風同時存在時，此兩颶風雖在台灣至菲律賓地形兩側，仍會發生相對旋轉，其中順轉者約佔 24%，逆轉約佔 76% 但其旋

轉角度平均小於 20°。此與全盤統計西北太平洋及南海地區雙颶風（劉；1984）時的統計結果（順轉 40%，逆轉 60%；旋轉角度亦較大）顯有差異，顯示上述地形對此種相對運動有影響。

二、當兩颶風中心相距在 1000 哩以內時，若其中心位置適當，即相互牽引之氣流正通過台灣北部外海與巴士海峽時，（台灣恰處在旋轉中心附近），二颶風將有明顯旋轉，颶風中心一過巴士海峽，一由台灣北部外海通過。

三、當相互牽引氣流受地形阻隔時，二颶風之相對運動會停止，後續運動將取決於駛流。

四、當二颶風相互牽引而靠近台灣及菲島地形時，二者路徑均有隨地形變化之現象。

五、在二颶風交互作用下，南海颶風常發生滯留或打轉現象。

六、雙颶風的交互作用在預報作業上難以掌握，而二個以上颶風同時存在時，其間的交互作用及駛流場之分析更加困難，每年 8、9 月份，兩個以上颶風同時存在之機率相當頻繁，對此種多颶風現象之預報，吾人更應加強研究，以利爾後工作之需。

總之，地形對雙颶風交互作用及由而產生的相對運動特徵會發生顯著的作用，在預報作業以及分析研究均應注意及之。

致謝

本研究資料之整理曾蒙黃幸彥先生及林雪棻小姐之協助方得以完成，在此特致謝意。

參考文獻

劉廣英、張儀峰、李紀恩，1982：雙颶風運動特性之分析與探討。第三屆全國大氣科學研討會論文集編。  
 劉廣英，1984a：西北太平洋及南海地區雙颶風運動特性之分析與探討。空軍氣象中心研究報告第 027。  
 劉廣英，1984b：純交互作用控制下雙颶風相對運動的數學分析及與實際個案路徑的比較。氣象預報與分析，100 期。  
 1960 ~ 1984：ANNUAL TROPICAL CYCLONE REPORT U.S.A.

# On the Topographic Effect of Binary Systems

Koung-Ying Liu Shuan-Shin Yu

## Abstract

In a previous study one of these authors (Liu, 1983) found the topography was one of the very important factors which influence the relative motion of the binary typhoon. In this study 49 binary systems are selected from the typhoon which occurred in the period 1960 to 1984 and the two centres were, in all or in a certain part of their tracks, separated by Taiwan and Philippines. The results of our analysis and study show that : (1) the relative angular displacements are comparably smaller than those occurred in the cases without topographic effect; (2) topographic effect makes the relative motion changed abruptly both in direction and in speed; (3) typhoon in South China Sea and interacted with a typhoon centered over NW Pacific Ocean and move to the Ocean through Bashi Channel only.

Statistical tables, relative tracks and case studies are all presented in this paper. They give the concise look of our work.

(上接 42 頁)

表三 世界各國天氣改造實施結果

國 別	計畫名稱 (年代)	核 粒 子	目 的	結 果
澳 洲	Snowy Mountains ( 1955 - 1959 )	AgI	增 加	顯著增加
	New England ( 1958 - 1963 )	AgI	增 加	部份增加, 部份不變
加 拿 大	QVEBEC ( 1960 - 1963 )	AgI	研 究	無顯著增加
印 度	DELHI ( 1957 - 66 )	塩粒 ( NaCl ) ( 液態, 粉狀 )	研 究	顯著增加
	JAIPUR ( 1960 - 63 )	"	研 究	無顯著增加
以 色 列	(I) ISRAEL ( 1960 - 67 )	AgI	研 究	部份增加, 部份沒有
美 國	NDPP ( 1971 - 72 )	AgI-NH <sub>4</sub> I-Acetone 300-600 gm	研究及增加	增加 2 %
	FACE ( 1970 - 75 )	AgI ( Pyrotechnics )	"	減少 6 %
	Caribbean ( 1954 )	Waterspray ( 1 m <sup>3</sup> / km )	"	雷達顯示較多回波
	CCOPE ( Coop Conv. Pre. E. )	AgI	"	?
	HIPLEX ( 1976 - 1981 )	"	"	?
	NDCMP ( North Dakota Cloud Modification Project, 1979 - 1982 )	AgI 混合物	"	?
中華民國 台 灣	1951, 1952, 1954, 1977 1980, 1982, 1983, 1984	乾冰 AgI	增 加	部份增加 ( 參考資料, 2 )

## 參 考 文 獻

1 Davis, B.L., 1976 : Nucleation Processes in Cloud Physics, SDMT, Rapid City, South Dakota, U.S.A. pp.220.

2 劉廣英、張儀峯, 1984 : 台灣北部冬夏季空中人造雨的分析比較, 氣象預報與分析, 98 期, 空軍氣象聯隊空軍氣象中心。